

理想塑性介质中平面应力 静止裂纹的尖端弹塑性场

章 梓 茂 马 兴 瑞
(哈尔滨工业大学)

高 玉 臣
(哈尔滨船舶工程学院)

摘要 本文详细分析了理想塑性介质中平面应力 I 型静止裂纹的尖端弹塑性场, 结果表明: 裂纹尖端应力场内可以不包含应力间断线, 但含有弹性区。作为这个一般解的特殊情况, 当弹性区被两侧的塑性区挤压消失而尖端场成为满塑性区时, 便得到 Hutchinson^[1] (1968) 给出的解。此外, 文中还给出了另一种均匀应力区位于裂纹前方的解, 这是[1]未曾得到的。

关键词 理想塑性介质, 裂纹尖端场, 弹性角区, 塑性角区

1. 引言

对于平面应力的 I 型静止裂纹, Hutchinson^[1] 曾给出一个尖端场的渐近解, 这个解存在着应力的间断线, Shih^[2] 曾研究了 I、II 混合型静止裂纹的尖端场, 但对理想塑性的情况, 其结果亦包含着应力间断线并且尖端场是满塑性区的。高玉臣^[3]研究了理想塑性材料中 I、II 混合型平面应变裂纹, 得到了含有弹性区但各应力分量为全连续的应力场。众所周知, [1] 所给出的尖端场构造与平面应变问题有着显著的差别, 各区域的配置也不同。这样, [1] 给出的尖端应力场是否为唯一解便是一个值得研究的问题。本文通过对基本方程和边界条件的分析, 对以上问题作出了回答。

2. 基本方程

考察平面 (x, y) 上的一个半无限长裂纹, 设 (r, θ) 为平面极坐标, 其原点位于裂纹端点, 如图 1 所示。

令 $\sigma_r, \sigma_\theta, \sigma_{r\theta}$ 为应力分量, 极坐标下的平衡方程为:

$$\left. \begin{aligned} \partial\sigma_r/\partial r + 1/r \cdot \partial\sigma_{r\theta}/\partial\theta + (\sigma_r - \sigma_\theta)/r &= 0 \\ 1/r\partial\sigma_\theta/\partial\theta + \partial\sigma_{r\theta}/\partial r + 2\sigma_{r\theta}/r &= 0 \end{aligned} \right\} \quad (1)$$

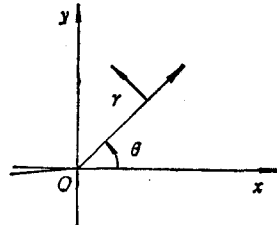


图 1 参考坐标系

本文于 1987 年 12 月 9 日收到, 于 1989 年 6 月 24 日收到修改稿。

再引入应力函数 φ , 并使得

$$\left. \begin{aligned} \sigma_r &= 1/r \cdot \partial\varphi/\partial r + 1/r^2 \cdot \partial^2\varphi/\partial\theta^2 \\ \sigma_\theta &= \partial^2\varphi/\partial r^2 \\ \sigma_{r\theta} &= -\partial(1/r \cdot \partial\varphi/\partial\theta)/\partial r \end{aligned} \right\} \quad (2)$$

则平衡方程可自动得到满足。

在平面应力条件, 对于理想塑性材料采用 Mises 屈服条件, 则由(2)式可得:

$$\begin{aligned} &\frac{1}{4} \left[\frac{\partial\varphi}{r\partial r} + \frac{1}{r^2} \frac{\partial^2\varphi}{\partial\theta^2} - \frac{\partial^2\varphi}{\partial r^2} \right]^2 + \left[\frac{\partial}{\partial r} \left(\frac{1}{r} \frac{\partial\varphi}{\partial\theta} \right) \right]^2 \\ &+ \frac{1}{12} \left[\frac{\partial^2\varphi}{\partial r^2} + \frac{1}{r} \frac{\partial\varphi}{\partial r} + \frac{1}{r^2} \frac{\partial^2\varphi}{\partial\theta^2} \right]^2 = K^2 \end{aligned} \quad (3)$$

其中 K 为剪切屈服极限。

本构关系可写为

$$\left. \begin{aligned} \dot{\varepsilon}_r &= \dot{\sigma}_r/E - \nu\dot{\sigma}_\theta/E + \lambda(2\sigma_r - \sigma_\theta)/3 \\ \dot{\varepsilon}_\theta &= \dot{\sigma}_\theta/E - \nu\dot{\sigma}_r/E + \lambda(2\sigma_\theta - \sigma_r)/3 \\ \dot{\varepsilon}_{r\theta} &= (1 + \nu)\dot{\sigma}_{r\theta}/E + \lambda\sigma_{r\theta} \end{aligned} \right\} \quad (4)$$

其中 $\dot{\varepsilon}_r, \dot{\varepsilon}_\theta, \dot{\varepsilon}_{r\theta}$ 为应变率分量, E 为弹性模量, ν 为泊松比, λ 为塑性流动因子。

极坐标下的协调方程为

$$r\partial(r\partial\varepsilon_\theta/\partial r)/\partial r + \partial^2\varepsilon_r/\partial\theta^2 - r\partial(\varepsilon_r - \varepsilon_\theta)/\partial r - 2\partial(r\partial\varepsilon_{r\theta}/\partial\theta)/\partial r = 0 \quad (5)$$

其中 $\varepsilon_r, \varepsilon_\theta, \varepsilon_{r\theta}$ 为应变分量。

各区域间应力全连续的条件, 应用[4]的结果, 可写成:

$$[\varphi]_r = [\varphi']_r = [\varphi'']_r = 0 \quad (6)$$

其中 Γ 表示区域的交界线, $[\quad]_r$ 表示交界线两侧函数的差, n 为 Γ 的法线方向。

3. 裂纹尖端应力场的渐近分析

在裂纹尖端附近, 我们将应力函数用幂级数展开式

$$\varphi = \sum_{n=0}^{\infty} r^{n+2} f_n(\theta) \quad (7)$$

将(7)代入(3)并取其首次近似, 则有

$$[f'_0(\theta) + f_0(\theta)]^2 + 3[(f'_0(\theta))^2 + f_0^2(\theta)] = 3K^2 \quad (8)$$

因此, 在塑性区, 应力函数 $f_0(\theta)$ 的解为

$$f_0(\theta) = A \cos 2(\theta + \theta^*) \pm \sqrt{3} \left(\frac{K^2}{4} - A^2 \right)^{1/2} \quad (9)$$

或

$$f_0(\theta) = K \cos(\theta + \theta^{**}) \quad (10)$$

(9)的解代表均匀应力区, (10)代表类似扇形的应力区, 其中 A, θ^*, θ^{**} 均为积分常数。

当考虑弹性区存在时, 将应力函数代入协调方程并取其首次近似, 得

$$f_0''(\theta) + 4f'_0(\theta) = 0 \quad (11)$$

由此可解得在弹性区的应力函数为:

$$f_0(\theta) = C_1 + C_2\theta + C_3\cos 2\theta + C_4\sin 2\theta \quad (12)$$

其中 C_1, C_2, C_3, C_4 均为特定常数。

以下分别对各种可能的应力场构造进行分析。

构造 I：尖端各角区如图 2 所示，即各区的应力函数分别为：

$$\text{I 区: } f_{01} = \sqrt{3} \left(\frac{K^2}{4} - A_1^2 \right)^{1/2} + A_1 \cos 2\theta \quad 0 \leq \theta \leq \theta_0$$

$$\text{II 区: } f_{02} = K \cos(\theta + \theta^{**}) \quad \theta_0 \leq \theta \leq \alpha$$

$$\text{III 区: } f_{03} = C_1 + C_2\theta + C_3\cos 2\theta + C_4\sin 2\theta \quad \alpha \leq \theta \leq \pi \quad (13)$$

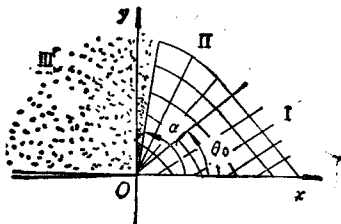


图 2 构造 I 的尖端弹塑性角区划分

并要求

$$0 \leq \theta_0 \leq \alpha \leq \pi \quad (14)$$

在(13)中已经考虑了 I 型裂纹的对称性条件。

假设应力场在各域间的连接处应力分量是全连续的，则根据(6)式，由 $\theta = \theta_0$ 处的连接条件得：

$$\left. \begin{aligned} & \sqrt{3} \left(\frac{K^2}{4} - A_1^2 \right)^{1/2} + A_1 \cos 2\theta_0 - K \cos(\theta_0 + \theta^{**}) = 0 \\ & 2A_1 \sin 2\theta_0 - K \sin(\theta_0 + \theta^{**}) = 0 \\ & 4A_1 \cos 2\theta_0 - K \cos(\theta_0 + \theta^{**}) = 0 \end{aligned} \right\} \quad (15)$$

由于在 $\theta = \theta_0$ 两侧的应力函数均已满足屈服条件，所以在(15)中实际上只有两个方程是独立的。因此可把 θ_0 看作为一可变参数。

再由 $\theta = \alpha$ 处的连接条件及裂纹面的应力边界条件得：

$$\left. \begin{aligned} & K \cos(\alpha + \theta^{**}) - C_1 - C_2\alpha - C_3\cos 2\alpha - C_4\sin 2\alpha = 0 \\ & -K \sin(\alpha + \theta^{**}) - C_2 + 2C_3\sin 2\alpha - 2C_4\cos 2\alpha = 0 \\ & K \cos(\alpha + \theta^{**}) - 4C_3\cos 2\alpha - 4C_4\sin 2\alpha = 0 \\ & C_1 + C_2\pi + C_3 = 0 \\ & C_2 + 2C_4 = 0 \end{aligned} \right\} \quad (16)$$

由(15)、(16)可解得用 α, θ_0 表示的各常数 $A_1, \theta^{**}, C_1, C_2, C_3, C_4$ ，而 α, θ_0 之间满足如下关系式

$$\frac{(\pi - \alpha) \sin \alpha + \sin \alpha \sin 2\alpha}{(\pi - \alpha) \cos \alpha + \cos \alpha \cos 2\alpha} = (\tan \theta_0)^3 \quad (17)$$

经过数值计算，结果表明： θ_0 可在 $0 - \frac{\pi}{4}$ 之间任意取值。特别地，当 $\theta_0 = 0$ 时裂纹

前方的均匀应力区消失而直接与扇形区相接，这时的 $\alpha = 39.12^\circ$ ；另外当 $\theta_0 = \frac{\pi}{4}$ 时，裂

纹前方塑性区的最大范围为 $\alpha = 52.03^\circ$ 。若 $\theta_0 > \frac{\pi}{4}$ 则应力的连接条件将被破坏。因此

这样的尖端应力场构造不可能出现满塑性区，也不应有应力间断线。图 3、4 分别给出了

当 $\theta_0 = 0^\circ, 45^\circ$ 时各无量纲应力分量随 θ 角的变化曲线。

构造 II: 尖端场各角区如图 5 所示, 即各区域的应力函数为:

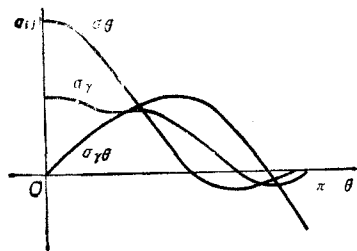


图 3 当 $\theta_0 = 0$ 或 $\theta_0 = 39.12^\circ$ 时无量纲应力随 θ 角的变化规律

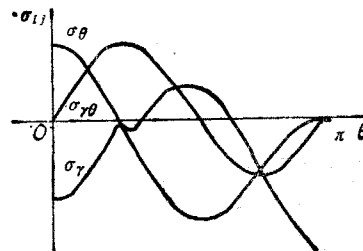


图 4 当 $\theta_0 = 45^\circ$ 时无量纲应力随 θ 角的变化规律

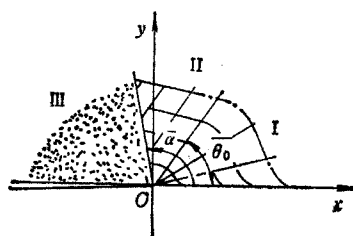


图 5 构造 II 的尖端弹塑性角区划分

$$\text{I 区: } f_{01} = K \cos \theta \quad 0 \leq \theta \leq \bar{\theta}_0$$

$$\text{II 区: } f_{02} = A_2 \cos 2(\theta + \theta^*) + \sqrt{3} \left(\frac{K^2}{4} - A_2^2 \right)^{1/2} \quad \bar{\theta}_0 \leq \theta \leq \alpha \quad (18)$$

$$\text{III 区: } f_{03} = \bar{C}_1 + \bar{C}_2 \theta + \bar{C}_3 \cos 2\theta + \bar{C}_4 \sin 2\theta \quad \alpha \leq \theta \leq \pi$$

并要求:

$$0 \leq \bar{\theta}_0 \leq \alpha \leq \pi \quad (19)$$

同样, 在(19)式中已经考虑了裂纹前方应力分布的对称性。利用 $\theta = \bar{\theta}_0$ 及 $\theta = \alpha$ 处的连接条件及裂纹表面的应力边界条件可得:

$$\left. \begin{aligned} & K \cos \bar{\theta}_0 - A_2 \cos 2(\bar{\theta}_0 + \theta^*) - \sqrt{3} \left(\frac{K^2}{4} - A_2^2 \right)^{1/2} = 0 \\ & K \sin \bar{\theta}_0 - 2A_2 \sin 2(\bar{\theta}_0 + \theta^*) = 0 \\ & K \cos \bar{\theta}_0 - 4A_2 \cos 2(\bar{\theta}_0 + \theta^*) = 0 \\ & A_2 \cos 2(\alpha + \theta^*) + \sqrt{3} \left(\frac{K^2}{4} - A_2^2 \right)^{1/2} - \bar{C}_1 - \bar{C}_2 \alpha - \bar{C}_3 \cos 2\alpha - \bar{C}_4 \sin 2\alpha = 0 \\ & -2A_2 \sin 2(\alpha + \theta^*) - \bar{C}_2 + 2\bar{C}_3 \sin 2\alpha - 2\bar{C}_4 \cos 2\alpha = 0 \\ & A_2 \cos 2(\alpha + \theta^*) - \bar{C}_3 \cos 2\alpha - \bar{C}_4 \sin 2\alpha = 0 \\ & \bar{C}_1 + \bar{C}_2 \pi + \bar{C}_3 = 0 \\ & \bar{C}_2 + 2\bar{C}_4 = 0 \end{aligned} \right\} \quad (20)$$

与(15)式的情况一样, 在(20)中可把 $\bar{\theta}_0$ 看作一个参数。由(20)可解用 $\alpha, \bar{\theta}_0$ 表示的各常数 $A_2, \theta^*, \bar{C}_1, \bar{C}_2, \bar{C}_3, \bar{C}_4$, 而 α 与 $\bar{\theta}_0$ 之间满足如下的关系:

$$\frac{\pi - \alpha + \frac{1}{2} \sin 2\alpha}{\sin^2 \alpha} = \frac{(2 + \sin^2 \bar{\theta}_0) \sin \bar{\theta}_0}{\sin^3 \bar{\theta}_0} \quad (21)$$

经过数值计算, 结果表明: $\bar{\theta}_0$ 的取值范围为 $39.12^\circ - 75.5^\circ$ 。特别地, 当 $\bar{\theta}_0 = 39.12^\circ$ 时 $\alpha = \bar{\theta}_0$, 即这时在扇形区后面的均匀应力区消失而直接与弹性区相连接, 所得的结果与 I 中 $\theta_0 = 0$ 时的情况完全一致。随着 $\bar{\theta}_0$ 的逐渐增大, 均匀应力区也随之扩大; 但当 $\bar{\theta}_0$ 达到 75.5° 时, 弹性区内首先在裂纹表面处出现屈服, 这时的 $\alpha = 120.45^\circ$ 。

因此, 当 $\bar{\theta}_0$ 超过 75.5° 时, 必须考虑在裂纹表面处出现的第三个塑性区。

构造 III: 尖端场各角区如图 6 所示。设第三个塑性区为均匀应力区, 则由裂纹表面的应力边界条件及屈服条件可得到在 IV 区内的应力函数为:

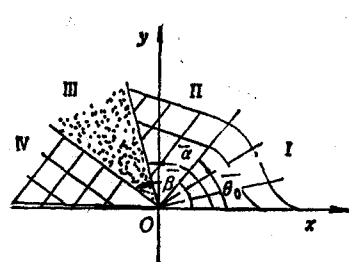


图 6 构造 III 的尖端弹塑性角区划分

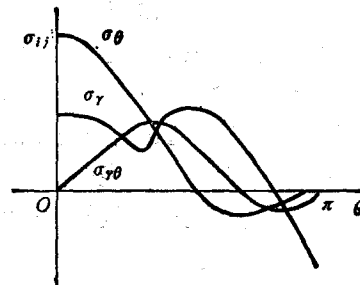


图 7 当 $\bar{\theta}_0 = 60^\circ$ 时无量纲应力随 θ 角的变化规律

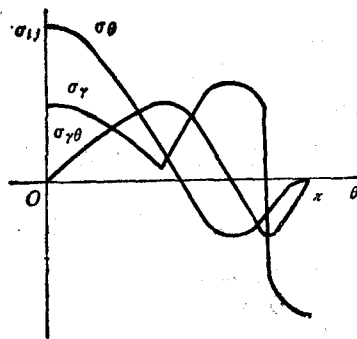


图 8 当 $\bar{\theta}_0 = 79.8^\circ$ 时无量纲应力随 θ 角的变化规律

$$f_{\alpha} = \frac{\sqrt{3}}{4} K (\cos 2\theta - 1) \quad \bar{\beta} \leq \theta \leq \pi \quad (22)$$

并要求

$$\alpha \leq \bar{\beta} \leq \pi \quad (23)$$

再由 $\theta = \bar{\beta}$ 处的连接条件得:

$$\left. \begin{aligned} \bar{C}_1 + \bar{C}_2\bar{\beta} + \bar{C}_3 \cos 2\bar{\beta} + \bar{C}_4 \sin 2\bar{\beta} - \frac{\sqrt{3}}{4} K(\cos 2\bar{\beta} - 1) &= 0 \\ \bar{C}_2 - 2\bar{C}_3 \sin 2\bar{\beta} + 2\bar{C}_4 \cos 2\bar{\beta} + \frac{\sqrt{3}}{2} K \sin 2\bar{\beta} &= 0 \\ 4\bar{C}_3 \cos 2\bar{\beta} + 4\bar{C}_4 \sin 2\bar{\beta} - \sqrt{3} K \cos 2\bar{\beta} &= 0 \end{aligned} \right\} \quad (24)$$

则用(24)及(20)式中的前六式可解得由 $\bar{\theta}_0$ 、 α 、 $\bar{\beta}$ 表示的各常数, 而 $\bar{\theta}_0$ 、 α 、 $\bar{\beta}$ 满足如下的关系式:

$$\left. \begin{aligned} 2\operatorname{ctg}(\alpha + \bar{\beta}) &= \frac{(1 + 2\sin^2\bar{\theta}_0) \cos\bar{\theta}_0 - \sqrt{3}}{\sin^3\bar{\theta}_0} \\ \frac{2(\alpha - \bar{\beta})}{\sin(\alpha + \bar{\beta}) \sin(\bar{\beta} - \alpha)} &= \frac{3 \cos\bar{\theta}_0 + \sqrt{3}}{\sin^3\bar{\theta}_0} \end{aligned} \right\} \quad (25)$$

经过数值计算, 结果表明: 当 $\bar{\theta}_0$ 以 75.5° 继续增大时, α 随之增大而 $\bar{\beta}$ 由 π 逐渐减少, 这时的弹性区由于受两边塑性区的挤压而迅速地缩小。最后该弹性区以弹性核的形式存在而使尖端应力场成为满塑性区, 同时出现了应力的间断线, 这就是[1]所给出的结果, 这时的 $\bar{\theta}_0 = 79.8^\circ$ 而 $\alpha = \bar{\beta} = 151.2^\circ$ 。图 3、7、8 分别给出了当 $\bar{\theta}_0 = 39.12^\circ$ 、 60° 、 79.8° 时各无量应力分量随 θ 角的变化曲线。

由以上的分析及计算结果表明: 与平面应变问题的情形相仿, 平面应力静止裂纹起始扩展时的尖端应力场也同样是不唯一的, 存在几种可传的应力场构造, 因此要最后确定还必须借助于远场计算。

4. 结论

(1) 平面应力 I 型静止裂纹的尖端场可以包含有弹性区及塑性区, 即使要求在各区域的连接处应力场是全连续的, 尖端场仍然不能唯一确定, 场中包含一自由参数, 它决定着场内弹性区的大小及构造方式。

(2) 在特殊情况下, 当弹性区退化为弹性核而使尖端场成为满塑性区时, 便得到 Hutchinson^[1] (1968) 所给出的解。

(3) 文献[5]给出的应力场为本文构造 I 中当 $\theta_0 = 0$ 时的特殊情况。

参 考 文 献

- [1] Hutchinson, J. W., J.M.P.S., 16, 5 (1968), 337.
- [2] Shih, C. F., ASTM-STP, 560 (1974), 187.
- [3] 高玉臣, 固体力学学报, 1(1980), 69.
- [4] 高玉臣, 力学学报, 1(1980), 49.
- [5] 斯志和, 余寿文, 力学学报, 19, 5(1987), 483.

ELASTIC-PLASTIC FIELDS AT A CRACK TIP IN PERFECTLY PLASTIC MEDIUM

Zhang Zimao Ma Xingrui

(*Harbin Institute of Technology*)

Gao Yuchen

(*Harbin Shipbuilding Engineering Institute*)

Abstract Based on the basic equations and continuity conditions, the configurations of the near-tip fields for a plane stress tensile crack in a perfectly plastic material have been studied in details in this paper. It is shown that the general solution of the near-tip fields contains an elastic region, and the stresses are continuous. Specially, it is reduced to the solution which is given by Hutchinson^[1] (1968) as the elastic region degenerates into an elastic kernel.

Key words perfectly-plastic material, near-tip fields, elastic region, plastic region